

تقييم كفاءة طريقة الأنابيب في التحري المظاهري عن تكوين الغشاء الحيوى في جرثومي *Staphylococcus aureus* و

المعزولتين من عينات مرضية مختلفة *Pseudomonas aeruginosa*

ا. د. محسن أيوب عيسى العكيدى

م.م. عمر غياش محمد حياوى

جامعة الموصل / كلية العلوم

جامعة الموصل / كلية التربية الأساسية

(قدم للنشر في 12/6/2018 ، قبل للنشر في 15/7/2018)

المُلخص:

أُجريت الدراسة الحالية بهدف التحري مظاهرياً عن قابلية تكوين الغشاء الحيوى (Biofilm) في جرثومي *S.aureus* و *Pseudomonas aeruginosa* المعزولتين من عينات مرضية مختلفة بطريقة الأنابيب. أظهرت النتائج أمتلاك (37%) و (19%) من عزلات النوع *S.aureus* قابلية مُتوسطة وضعيفة (على التوالي) على تكوين الغشاء الحيوى فيما بدت (44%) من العزلات التابعة لهذا النوع غير قادرة على تكوين الغشاء الحيوى باستخدام هذه الطريقة. بالمقابل تراوحت قابلية عزلات النوع *P.aeruginosa* على تكوين الغشاء الحيوى بهذه الطريقة بين القوية التي مثلت النسبة الأعلى (50%) والمُتوسطة والضعيفة وبنسب (30%) و (10%) على التوالي فيما لم تُظهر (10%) من عزلات هذا النوع أي قدرة على تكوين الغشاء الحيوى باستخدام هذه الطريقة.

Evaluating the efficiency of Tube Method in phenotypic Investigation of Biofilm formation by *Staphylococcus aureus* and *Pseudomonas aeruginosa* isolated from different clinical sources

Abstract:

The objective of this study was phenotypic detection of biofilm formation by *S.aureus* and *P.aeruginosa* isolated from different clinical specimens using tube method. The results showed that (37%) and (19%) of *S.aureus* isolates have moderate and weak ability to form a biofilm , respectively, whereas (44%) of *S.aureus* isolates were unable to form biofilm using this method. On the other hand the ability of *P.aeruginosa* isolates to form biofilm using tube method was varied between strong, which represent the higher percentage (50%), to moderate and weak which represent (30%) and (10%) respectively whereas only (10%) of *P.aeruginosa* isolates where unable to form a biofilm using this method.

المقدمة

Brooks *et al*, 2013; Jenny *et*

(al,2014) بالأخص تلك الناتجة عن استخدام اللوازم الطبية العلاجية كاستخدام المُبخرة في علاج أمراض الجهاز التنفسى أو القثاطر البولية أو إصابات الجروح والتي تبرز فيها قوة الإصابة (Percival *et al*,2015 ، كما شُخصت هاتان الجراثيمتان على أنها الأكثر قابلية على إنتاج الغشاء الحيوى من بين الجراثيم المعزولة من الإصابات المزمنة للتقرحات الجلدية (Di Domenico *et al*,2017) فضلاً عن ذلك فقد شُخص الدور الرئيسي للغشاء الحيوى الذى تكونه جرثومة *P.aeruginosa* في الإصابات المُزمنة للرئة وبالأخص مرض التليف الكيسى الذي يتسبب في تزايد أعداد الوفيات (Cystic Fibrosis Maurice *et al*,2018; Asbury *et al*,2018; and A Jazayeri, 2018) بشكل ملحوظ.

طريقة الأنابيب (TM) هي إحدى الطرق النوعية في التحري عن الأغشية الحيوية أُستخدمت لأول مرة من قبل الباحث (Christensen *et al*,1982) في التحري عن قابلية العزلات التابعة للنوع *S.epidemidis* على تكوين الغشاء الحيوى وهي تعتمد على قابلية الجراثيم على التحول من

الغشاء الحيوى هو مصفوفة من الخلايا الفعالة الساكنة تعود لنوع جرثومي واحد أو عدة أنواع من الجراثيم تميل للإتصاق والنمو على الأسطح الصلبة - الرطبة تنظم في مستعمرات دقيقة تُوفِّـ 25-10% منه وهي مغلفة و منظمرة بادرة أساس خارجية تُوفِّـ حوالي 75-90% منه ذات طبيعة لزجة مكونة أساساً من متعدد السكريات تفرزها الخلايا المكونة للغشاء (Garrett *et al*,2008; Simões *et al*,2010; Banerjee *et al*,2015) عادة ما تكون الأغشية الحيوية مرضية في طبيعتها وهي تُكتسب غالباً من المستشفيات وقد توصلت منظمة الصحة العالمية إلى أن هذه التراكيب تسبب فيما لا يقل عن 65% من مُجمل الإصابات الجرثومية (Jamal *et al*,2018) ولها يُعزى ما لا يقل عن 80% من الإصابات المُزمنة (Pozo, 2018).

يُسبب النوعان الجرثوميان *P.aeruginosa* و *S.aureus* في إحداث إصابات إيهمازية للجسم وكثيراً ما يرتبطان ببعدي

(Brook *et al*,2013 بالاعتماد على ما جاء في .,Forbes *et al*,2007, Winn *et al*,2006)

-الوسط الزرعي Tryptone Soya Broth (TSB) India– Himedia المجهز من شركة -المحلول الملحبي الفسلجي 0.85%
-صبغة الكريستال البنفسجية 0.1% المجهزة من شركة England–Atomic Scientific

طريقة العمل:

استخدمت طريقة الأنابيب (TM) في التحري عن قابلية العزلات المدرسوة على تكوين الأغشية الحيوية ، وتعتمد هذه الطريقة على الملاحظة المباشرة للأغشية الحيوية بعد تضييقها على وسط TSB في أنابيب اختبار زجاجية لمدة 24 ساعة.أجريت الطريقة استنادا إلى (Christensen *et al* 1982, Hassan *et al*,2011) وكما يلي:

1. قلت مستعمرة واحدة من مزرعة حديثة إلى أنابيب حاوية سم 1.5 وسط TSB.
2. حضنت لمدة 24 ساعة بدرجة 37° م.

الشكل الطافي في الوسط الزرعي إلى الشكل الساكن الملتصق والذي يُعطى جدران الأنابيب وقعرها أثناء فترة التحضير والذي يُسندل عليه باستخدام بعض الصبغات (صبغة البلورات البنفسجية عادة) ثم تقييم النتائج إلى ضعيفة ومتعددة وقوية .(Hassan *et al*,2011) وأعتمادا على درجة الأصطباغ ونظرا للأهمية الصحية والبيئية للغشاء الحيوي فقد تم إجراء هذا البحث بهدف تقييم كفاءة طريقة الأنابيب في التحري المظاهري عن تكوين الغشاء الحيوي في جرثومتي *Staphylococcus Pseudomonas aeruginosa* و *aureus* المعزولتين من عينات مرضية مختلفة.

المواد وطرق العمل

المواد:

-الجراثيم المستخدمة في الدراسة: شملت الدراسة (26) عزلة مرضية تضمنت : (16) عزلة تابعة للنوع *S.aureus* و (10) عزلات تابعة للنوع *P.aeruginosa* تم عزلها من عينات مرضية مختلفة شملت (عينات جلدية ، عينات من الجهاز التنفسي ، دم ، إدرار ، مسحات مهبلية) وشخصت في قسم علوم الحياة/ كلية العلوم باستخدام الطرق التقليدية

السائل مسببة في تعكره وهي الحالة الأغلب لهذه الجرثومة مع وجود اعداد من الخلايا تميل للنمو بالشكل الساكن إذ تعلق على جوانب الأنابيب وأحياناً تظهر في الطبقة السطحية للوسط السائل على جدران الأنابيب وهي التي يمكن ملاحظتها بشكل حلقة سطحية خفيفة بعد صبغها بالصبغة البنفسجية (الصورة 1).

على الرغم من أملاك النوع *S.aureus* لواصق تعرف

Microbial Surface Component Recognizing Adhesive Matrix Molecules (MSCRAMMs) بصلة

الخلية إلا أنها متخصصة فقط تكون أربطة متخصص مع مستقبلات متواجدة على السطوح الحية كخلايا و مكونات الجسم المختلفة وليس لها دور في الالتصاق على السطوح غير الحية الذي يوصف بأنه غير متخصص تلعب فيه العوامل الفيزيائية كصفة الكراهة للماء، القوى الالكتروستاتيكية(الشحنات الكهربائية) لسطح الخلية والسطح السائد، درجة حرارة الوسط ، حامضية الوسط ، خشونة السطح ، طاقة السطح، وغيرها من العوامل الدور الأبرز (*Reffuveille et al 2017;Moormeier and Bayles, 2017*)

3. سكب الوسط ثم غسل الأنابيب بال محلول الملحي لإزالة الخلايا غير الملتصقة.

4. أضيفت صبغة الكرستال البنفسجية 0.1% لمدة 15-20 دقيقة.

5. أزيلت الصبغة ثم غسلت الأنابيب لإزالة الصبغة الزائدة.

6. لوحظ أصطباغ الأنابيب في المنطقة المزروعة وبالأخص ظهر الحلق البنفسجية في الطبقة السطحية.

7. سُجلت النتائج وقيمت بالأعتماد على درجة اصطباغ الجدران الداخلية للأنبوب .

النتائج والمناقشة

المجدول رقم (1) يوضح النتائج التي تم الحصول عليها عند اختبار قابلية عزلات *S.aureus* على تكوين الغشاء الحيوي على الأنابيب الزجاجية إذ يتبين من المجدول أن نسبة العزلات التي أظهرت القابلية على الالتصاق وتكوين الغشاء الحيوي كانت 56% وقد تفاوتت العزلات في هذه القابلية بين الصبغة والتي شكلت نسبة (19%) والمتوسطة والتي شكلت نسبة (37%). في حين لم تظهر 44% من العزلات هذه القابلية. لوحظ ان عزلات *S.aureus* تميل(بنسبة كبيرة) الى النمو داخل الوسط

جدول (1): نتائج التحري عن تكوين الأغشية الحيوية في عزلات النوع *S.aureus* بطريقة TM

تقييم النتيجة		نتيجة الأختبار		مصدر العزلة		سلسل العزلة	
موجبة متوسطة	++	(جرح - حروق - ونزوي) اصناف جلدية:		إدرار	دم	.1	
	++						
	++						
	-						
	-						
	++						
	++						
	+						
	++						
	-						
موجبة ضعيفة	-	إدرار	مسحات مهبلية	قشع	التهاب جيوب	.11	
	-						
	+						
	-						
	-						
الموجبة الكليلة		الموجبة القوية		الموجبة المتوسطة		الموجبة الضعيفة	
%	عدد	%	عدد	%	عدد	%	عدد
44	7	19	3	37	6	0	0
						56	9



الصورة(1) النتائج الموجبة والسلبية لاختبار TM في عزلات النوع *S.aureus* (2، 10، 11) حيث جدران الأنابيب مصطبغة بصبغة الكربستال البنفسجية 0.1%

ذكر سابقاً فإن طريقة TM هي طريقة نوعية تحدد نوع الغشاء الحيوي الذي تكونه الجرثومة والذي يعتمد أولاً على شكل التموي الذي تتخذه ، فقد وجد في هذا الأختبار أن معظم عزلات *P.aeruginosa* التي درست تنمو على السطح وهي تمثل للإتصاق بشكل واضح على جدار الأنابيب الزجاجي في الطبقة السطحية من الوسط وظهرت العديد منها بشكل طبقة مخاطية تعرف بالـ pellicle طافية على سطح الوسط السائل ، لذا فقد ظهر الغشاء الحيوي الذي كنته جرثومة *P.aeruginosa*

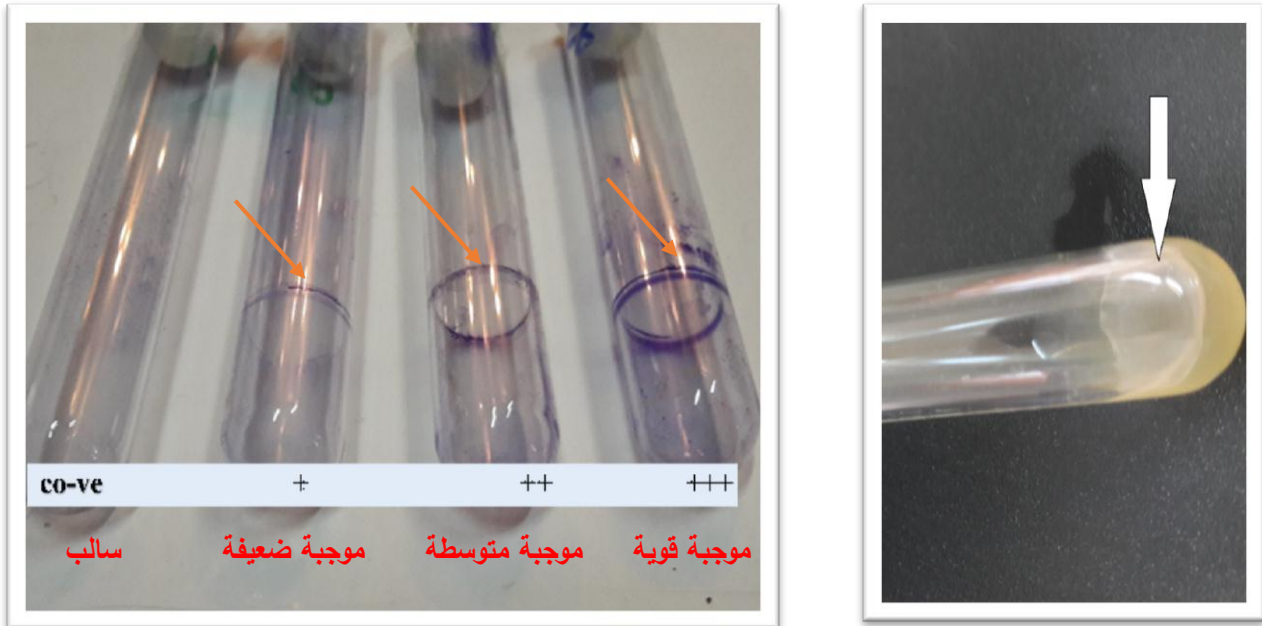
بالمقابل فقد أظهرت نتائج التحري عن تكوين الأغشية الحيوية لجرثومة *P.aeruginosa* بطريقة الأنابيب الزجاجية من خلال قابليتها للإتصاق والنمو على جدار الأنابيب وإنتاج الشكل النهائي للغشاء الحيوي وكما مُبين في الجدول (2) أن نسبة العزلات الموجبة لتكوين الغشاء الحيوي بلغت 90% وقد تفاوتت في قدرتها على تكوينه بين القوية والتي شكلت النسبة الأعلى (50%) والمتوسطة والتي شكلت نسبة (30%) والضعيفة والتي شكلت نسبة (10%) . في حين لم تمتلك 10 % من العزلات هذه القابلية. كما

أُستجابة لنوع البيئة التي تقطنها (Laverty *et al*,2013). يترك النمو بهذا الشكل المُلتصق أثرا واضحًا على جدران السطح الزجاجي للأنبوب وهي تقاوم عملية الغسل لذا تظهر، بعد صبغها بالصبغة البنفسجية بشكل حلقة سطحية سميكه كما موضح في الصورة (2).

ملتصقاً على الجدران الداخلية في الطبقات السطحية. كما تُتجزَّع عملية الالتصاق في هذه الجراثيم بوجود عاملين مهمين وهما شعيرات النوع الرابع وقدرتها على إنتاج مادة متعددة السكريات الدهني نوع B الذي يكون محب للماء وهو عامل مهم في الالتصاق على الأسطح الزجاجية (المُحبة للماء) وعادة ما تتجزَّع الجراثيم

المدول 2: تأثير التعری عن تكون الفشاء الحيوي في عزلات النوع *P.aeruginosa* بطریقة TM

تقييم النتيجة		نتيجة الاختبار		مصدر العزلة	رقم العزلة	
موجبة قوية		+++			.1	
موجبة قوية		+++			.2	
موجبة قوية		+++			.3	
متوسط القوة		++			.4	
متوسط القوة		++			.5	
موجبة قوية		+++			.6	
موجبة متوسطة		++		دم	.7	
غير مكون		-			.8	
موجبة قوية		+++		مسحة مهبليه	.9	
موجبة ضعيفة		+		التهاب جبوب	.10	
السالبة		الموجبة الضعيفة		الموجبة المتوسطة		
%	عدد	%	عدد	%	عدد	
10	1	10	1	30	3	
				50	5	
				90	9	

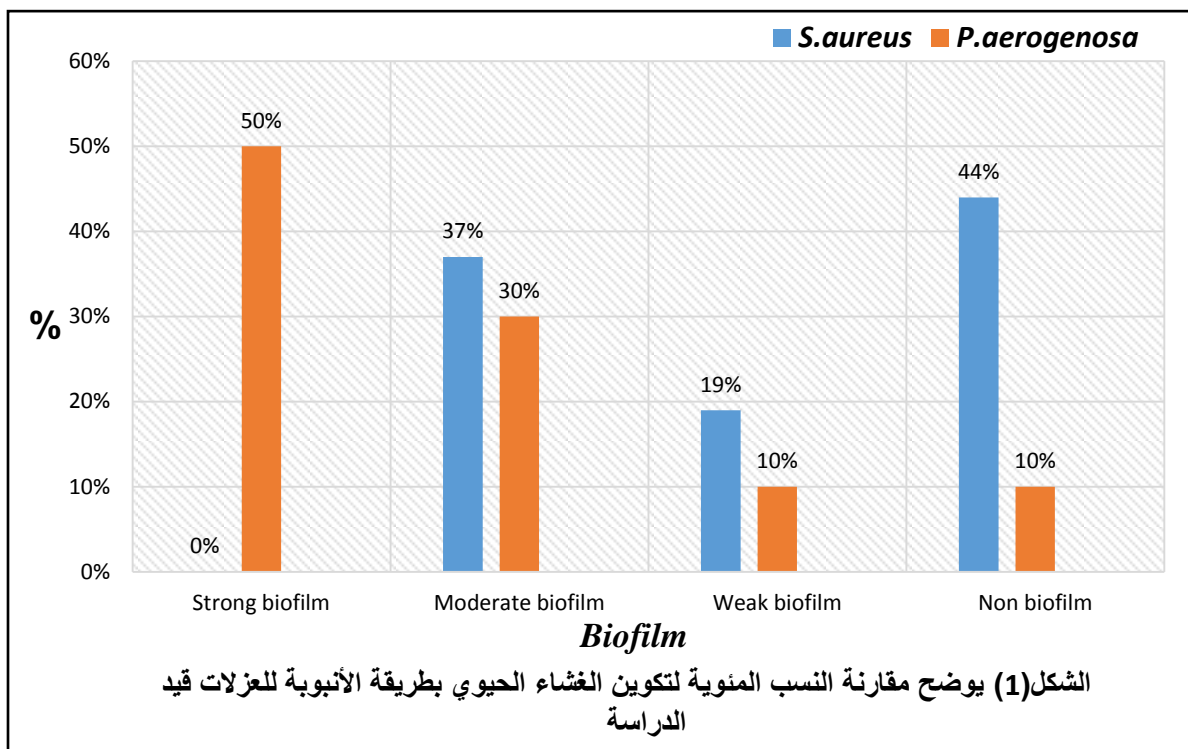


-ب-

الصورة(2) النتائج الموجبة لتكوين الغشاء الحيوي في بعض عزلات النوع *P.aeruginosa* بطريقة TM حيث:
أ- تباين تكوين الغشاء الحيوي في عزلات النوع *P.aeruginosa* بعد 24 ساعة

(O'Toole, 2011) على الحركة *P.aeruginosa*
أضف الى ذلك فإن قابلية جرثومة *P.aeruginosa* على
إنتاج الطبقة المخاطية السطحية دعم وبقوة قابلية الجرثومة على
الإتصاق وإظهار النتيجة الموجبة الصورة(2)
(Abidi et al, 2013).

من خلال ملاحظة الشكل (1) يظهر الفارق الكبير في النسب
المئوية لقوة الغشاء الحيوي في كل النوعين باستخدام طريقة TM إذ
نجد أن العزلات التابعة للنوع *P.aeruginosa* كانت أغشية
حيوية واضحة متماسكة ظهرت بشكل حلقة مستديرة على جدار
الأنبوبة الزجاجية لأسباب منها: قابلية جراثيم النوع



13(57).Available at:
<http://www.biomedcentral.com/1471-2415/13/57>

Asbury J. and A Jazayeri J. (2018). The Significance of *Pseudomonas aeruginosa* Infection and Biofilms to the Cystic Fibrosis Patients: The Need for the Development of New Therapies. *J.Adv.Biotechnol. and*

References

Abidi S.H., Sherwani S.K., Siddiqui T.R., Bashir A. and Kazmi S.U. (2013). Drug resistance profile and biofilm forming potential of *Pseudomonas aeruginosa* isolated from contact lenses in Karachi-Pakistan. *J. BMC Ophthalmology*

- Ulcers Independently from the Multidrug Resistant Phenotype. *Int. J. Mol. Sci.* 2017, 18, 1077; doi: 10.3390 /ijms 18051077.
- Forbes, B.A.; Sahm, D.F. and Weissfeld, A.S and Trevino E.A. (2007). Baily and Scott's Diagnostic Microbiology.12th ed. Mosby. Inc.USA.
- Garrett T, Bhakoo M, and Zhang Z.(2008). Review "Bacterial adhesion and biofilms on surfaces". *J. Progress in Nat. Sci.*18(2008) :1049–1056.
- Hassan A., Usman J., Kaleem F., Omair M., Khalid A. and Iqbal M.(2010). Evaluation of different detection methods of biofilm formation in the clinical isolates. *Braz J Infect Dis.* 15(4):305-311
- Jamal M., Ahmad W., Andleeb S., Jalil F., Imran M., Nawaz M., Hussain T., Ali M., Rafiq M., and Kamil M. (2018). Bacterial biofilm and *Microbiol.*8(4).2018 DOI: 10.19080/AIBM.2018.08.555742.
- Banerjee P., Singh M. and Sharma, V .(2015). Biofilm Formation: A Comprehensive Review. *Int. J. Pharma Res. and Health Sciences.* 3 (2):556-560.
- Brooks G., Caroll K., Butel J. Morse S. Mietzner T. (2013). Jawetz, Melnick, & Adelberg's Medical Microbiology 26th ed. McGraw-Hill Companies, Inc.USA.
- Christensen G.D., Simpson W.A., Bisno A.L., Beachey E.H . (1982). Adherence of Slime-Producing Strains of *Staphylococcus epidermidis* to Smooth Surfaces . *J . Infect. & Immun.* 37(1):318-326.
- Di Domenico E., Farulla I., Prignano G., Gallo M., Vespaiani M., Cavallo I., Sperduti I., Pontone M., Bordignon V., Cilli L., Santis A., Di Salvo F., Pimpinelli F., Parola I., Toma L. and Ensoli F.(2017). Biofilm is a Major Virulence Determinant in Bacterial Colonization of Chronic Skin

- Moormeier D. E. and Bayles K.W. (2017) . *Staphylococcus aureus* biofilm: a complex developmental Organism (Microreview).*J. Molecular Microbiol.* , 104(3): 365–376.
- O'Toole G.A.. (2011). Microtiter Dish Biofilm Formation Assay (Video Article). *J. Visualized Experiments.*
<http://www.jove.com/details.php?id=2437>, doi: 10.3791/2437
- Percival S., Suleman L., Vuotto C. and Donelli G. (2015). Healthcare-associated infections, medical devices and biofilms: risk, tolerance and control. *J. of Med. Microbiol.* (2015) (64):323–334.
- Pozo J. (2018). Biofilm-related disease. *J. Expert. Rev. of Anti-Infective Therapy.*16(1):51-65. (Abstract).
- Reffuveille F, Josse J., Vallé Q., Mongaret C. and Gangloff S.C.(2017) . *Staphylococcus* associated infections. *J. Chinese Med. Association.* 81 (2018) 7-11.
- Jenney A., Holt D., Ritika R., Southwell P., Pravin S., Buadromo E., Carapetis J., Tong S. and Steer A.(2014). The clinical and molecular epidemiology of *Staphylococcus aureus* infections in Fiji *J. BMC Infect. Dis.* 2014(14):160-166.
- Laverty G., Gorman L.G., and Gilmore, B. F. (2013). Biomolecular mechanisms of staphylococcal biofilm formation. *J.Fut. Microbial.* , 8(4), 509-24.
- Maurice N. Bedi B. and Sadikot R.(2018). *Pseudomonas aeruginosa* Biofilm: Host response and clinical implications in lung infections. *Amer. J. of Respiratory cell and Mol. Biol.* 58(4).
<https://doi.org/10.1165/rcmb.2017-0321TR>. (Abstract).

- strategies. *J. LWT - Food Science and Technol.* 43 (2010) :573–583.
- Winn W., Allen S., Janda W., Koneman E., Proscop G. Schrenckenberger P. and Woods G. (2006). Koneman's Color Atlas and Textbook Of Diagnostic Microbiology 6th ed. Lippincott Williams and Wilkins Washington Dc. USA.
- aureus* Biofilms and their Impact on the Medical Field, The Rise of Virulence and Antibiotic Resistance in *Staphylococcus aureus* , Dr. Shymaa Enany (Ed.), InTech, DOI: 10.5772/66380.
- Simōes M. , Simōes L., Vieira M. (2010). A review of current and emergent biofilm control